

生成量は飽和状態に達し、その飽和量は材料の安定度の低いほど多く、同一試料では引張強さの遅いほど多い。また、同一試料での引張強さの影響度は、ひずみ量の増加につれて顕著になつてゐる。

#### 4. 考察および結言

SUS 39においては、準静的範囲での引張速さが引張特性値に大きく影響し、しかもその影響のおよぼし方および程度も $\gamma$ 相の安定性によって異なる。これは、この種の材料においては、そのにり方向に[110], [112]の違いがあるが<sup>11)</sup>辺り型変形と $\gamma\text{-}\alpha$ 変態型変形の両者がその塑性変形の全機構を構成し、外力のなす仕事の一部は変形エネルギーとして働き、大部分は辺り面(111)における摩擦熱として消費散逸されることおよびMs点よりも高くない温度では、 $\gamma\text{-}\alpha$ 変態を促進するに要する臨界分解剪断応力は辺り型変形に要するそれよりも小さいので、 $\gamma\text{-}\alpha$ 変態が塑性流動の主体をなし、一方Md点以上では辺り型変形が塑性流動の主体をなすことを考えあわせればよく説明しうる。

すなわち, Ms 点の高い試料 A では, 変形初期から  $\gamma$ - $\alpha$  変態のひずみ核が活性化されているため,  $\gamma$ - $\alpha$  型変態が生じ, 生成されたマルテンサイトのために急激な温度上昇をもたらす。Ms 点の低い試料 C では, 与えられた変形エネルギーの大部分は, せん断型変形に費され, 変形量が増して始めてひずみ核のエネルギー順位が高まり,  $\gamma$ - $\alpha$  変態を生じている。このマルテンサイト生成挙動はよく材料の塑性変形過程と一致し, Ms 点の高い材料は小さい応力で降伏し, その硬化曲線もマルテンサイト生成に類似した様相を呈し, マルテンサイト量の多い材料が高い破断強度を示している。したがって, 点 (P) は, Ms 点と同様材料の  $\gamma$  相の安定性を評価する 1 つの指標にも成りうると考えられる。

一方、引張速さの大きいときは、辺り面における摩擦熱は十分外部に放出されないので、あたかも断熱的様相を呈し、変形の増すにつれて材温は上昇する。したがつて、同一試料でも引張速さが大きいと、 $r-\alpha$  変態に要する臨界分解剪断応力が大きくなり、その反面にりに要するそれは小さくなつて、マルテンサイト生成量が少なく、この事実が塑性変形過程の差および引張強さの差としてあらわれている。

また、伸びは一般に変形速度の増加につれて低下するが、試料Aでは、逆に辺り型変形のため硬化速度がおそらく増加している。試料Bは、互いに逆の作用が相殺しあつて引張速さの影響をほとんど受けていない。

文 献

- 1) L. KAUFMAN and MOHEN: J. Metals, 8 (1956), p. 1393
  - 2) T. ANGEL: J. Iron & Steel Inst. (U.K.), 177 (1954), p. 165
  - 3) B. CINA: ibid., 177 (1954), p. 406
  - 4) C. B. POST and W. C. EBERLY: Trans. Amer. Soc. Metals, 39 (1947), p. 868
  - 5) G. H. EICHELMAN and F. C. HULL: ibid., 45 (1953), p. 77
  - 6) B. L. AVERBACH and M. COHEN: ibid., 47 (1955), p. 267

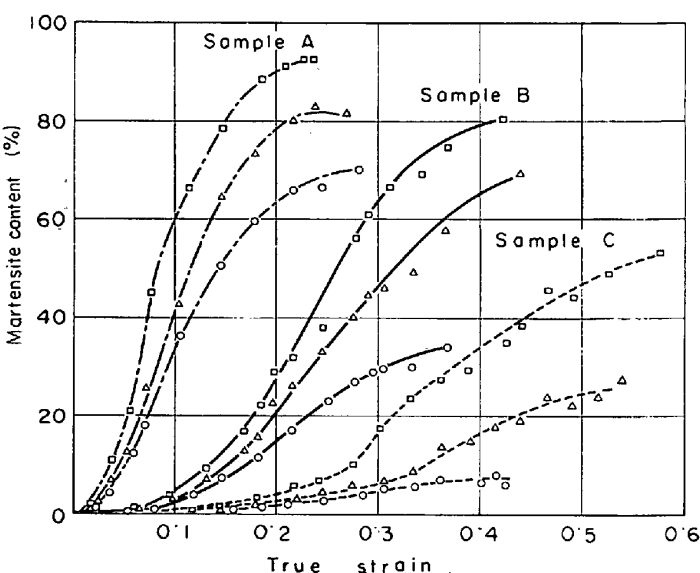


Fig. 4. Relation between martensite content and true strain. Symbols  $\circ$ ,  $\triangle$  and  $\Delta$  indicate strain-rate 50, 5 and 0.5 mm/min. respectively.

- 7) S. A. KULIN and M. COHEN: Trans. Met. Soc., Amer. Inst. Min., Met., & Pet. Eng., 194 (1952), p. 661
  - 8) E. C. BAIN: ibid., 70 (1925), p. 25
  - 9) S. FONER: Rev. Sci. Instrum., 30 (1959), P. 548
  - 10) 広田, 根市, 千葉: National Tech. Report, 10 (1964), p. 370
  - 11) R. LAGNEBORG: Acta Met., 12 (1964), p. 823
  - 12) K. HOSELITZ: Ferromagnetic Properties of Metals and Alloys (1952), p. 297 [Oxford, Clarendon Press]

### (188) 普通炭素鋼熱間變形抵抗數式化

住友金屬工業、中央技術研究所

美坂 佳助・○吉本 友吉

## Formularization of Resistance to Deformation of Plain Carbon Steels at Elevated Tempera- ture.

*Yoshisuke MISAKA and Tomokichi YOSHIMOTO.*

## 1. 緒 言

鋼の熱間変形抵抗については、従来より多くの研究がなされ、炭素鋼の場合 (I) 式が成立する<sup>1)2)</sup>.

$$K_{fm} = K \cdot e^{(A/T_K)} \cdot \varepsilon^n \cdot \varepsilon^m \dots \dots \dots \quad (1)$$

$K_{fm}$ : 平均变形抵抗 ( $\text{kg/mm}^2$ ),  $\epsilon$ : 加工度 (対数歪),  
 $\dot{\epsilon}$ : 平均歪速度 ( $1/\text{sec}$ ),  $T_K$ : 絶対温度 ( $^\circ\text{K}$ ),  
 $K, A, n, m$ : 定数

$K, A, m, n$  は鋼種による定数といわれているが、その數値が化学成分などによってどのように表わせるかについては明らかにされていない。そこでこれらの定数を鋼種の関数として解いて変形抵抗の式数化を試みた。

## 2. 変形抵抗の測定方法

落下ハンマーによる圧縮試験法<sup>1)</sup>で試験条件は次のと



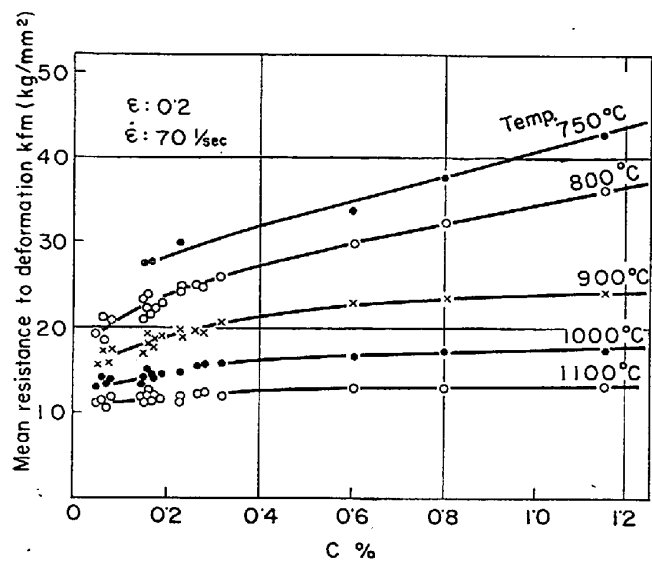


Fig. 1. The relation between mean resistance to deformation and carbon content.

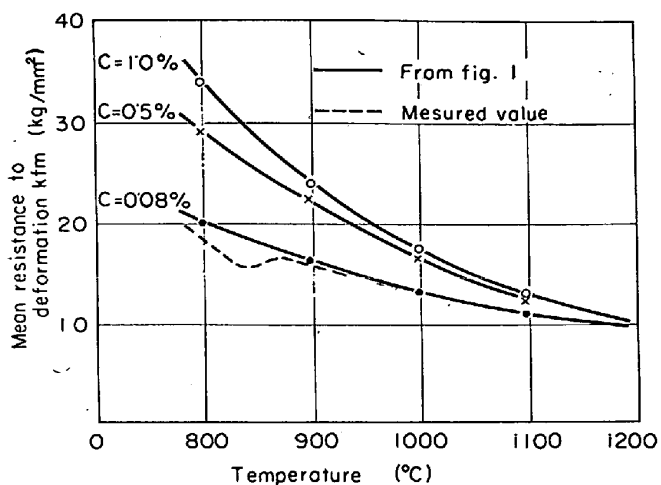


Fig. 2. The relation between mean resistance to deformation and temperature.

平均変形抵抗を求めた。そして  $\ln K_{fm}$  と  $\ln \dot{\epsilon}$  の関係を図示すると両者は直線関係であり(3)式が成立することがわかつた。

$$K_{fm} = \propto \dot{\epsilon}^m \quad \dots \dots \dots (3)$$

そして直線の傾斜は  $m$  である。 $m$  の値は材質や温度によつて一定の傾向を示さずかつがなり異なつておつり、これらを一つの定数とすることは問題ではあるが、実用範囲に 30~200 1/sec の制限を設ければ実測の平均値 0.13 を用いても誤差は非常に少ない。

#### 4.3 加工硬化指数 ( $n$ )

さきの  $\ln K_{fm}$ - $\ln \dot{\epsilon}$  線図を 100 1/sec および 200 1/sec で切つて  $\ln K_{fm}$  と  $\ln \dot{\epsilon}$  の関係をプロットすると、両者は直線関係にある。したがつて(4)式が成立する。

$$K_{fm} = \propto \dot{\epsilon}^n \quad \dots \dots \dots (4)$$

そして直線の傾斜は  $n$  である。 $n$  の値についても材質や温度によつて一定の傾向を示さずかつがなり変動はある。したがつて一つの定数とすることは問題ではあるが加工度があまり大きくなつた場合( $\dot{\epsilon} \leq 0.5$ )では  $n$  の値とし

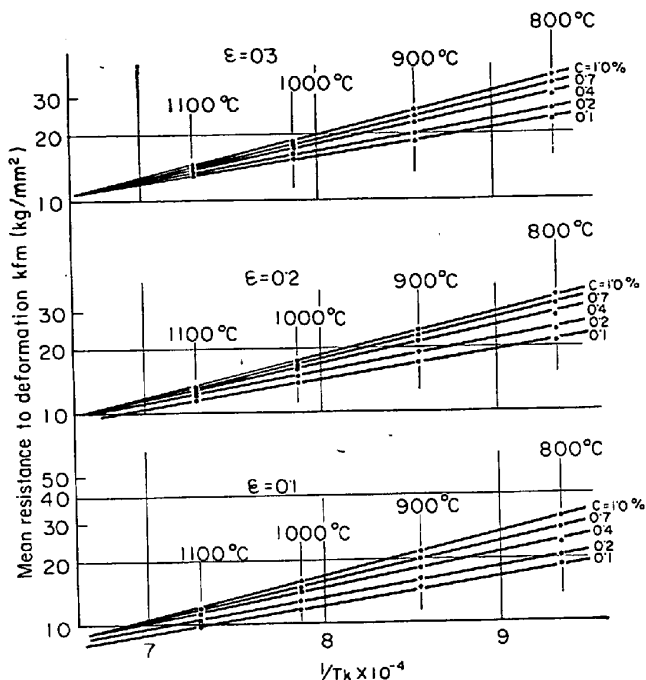


Fig. 3. The relation between  $\log K_{fm}$  and  $1/T_K$ .

Table 4. The value of  $A$  in equation 5.

$C\%$	$\dot{\epsilon}$	0.1	0.2	0.3	Average
0.10		3122	3122	2926	3057
0.20		3306	3513	3318	3379
0.40		3720	4055	3928	3901
0.70		4309	4365	4309	4328
1.00		4665	4678	4678	4674

て実測の平均値 0.21 を用いても誤差は小さいと考える。

#### 4.4 平均変形抵抗の数式化

Fig. 1 では若干のばらつきはあるが、これは実験の誤差であると解釈して Fig. 1 の曲線が正しく  $C\%$  と  $K_{fm}$  の関係を示すものとする。曲線を  $C=0.1, 0.2, 0.4, 0.7, 1.0\%$  で切つて加工度 0.1, 0.2, 0.3 の場合について  $C\%$  をパラメーターとして  $\ln K_{fm}$  と  $1/T_K$  の関係を示すと Fig. 3 のごとく 800°C の場合は若干はずれるが直線関係である。Fig. 3 の直線の傾斜は(5)式の  $A$  である。

$$K_{fm} = \propto \exp(A/T_K) \quad \dots \dots \dots (5)$$

$A$  を Fig. 3 より求めたものは Table 4 である。

Table 4 に示されるように  $A$  の値は加工度によつてあまり差がないので平均値をとることにし、 $A$  を単に  $C\%$  の函数として次のように表わすこととした。

$$A = 2851 + 2968C - 1120C^2 \quad \dots \dots \dots (6)$$

以上により(1)式の  $A, n, m$  は決定されたので残る  $k$  を定めるのであるが、式の形をととのえるために(7)式の  $k$  を求めることにする。

$$K_{fm} = e^k \cdot e^{A/T_K} \cdot \dot{\epsilon}^n \cdot \dot{\epsilon}^m \quad \dots \dots \dots (7)$$

(7)式を変形すると(9)式がえられ実測データーより  $k$  を求める。

$$k = [\log K_{fm} - \{(A/T_K) \cdot \log e + n \log \dot{\epsilon} + m \log \dot{\epsilon}\}] / \log e \quad \dots \dots \dots (8)$$

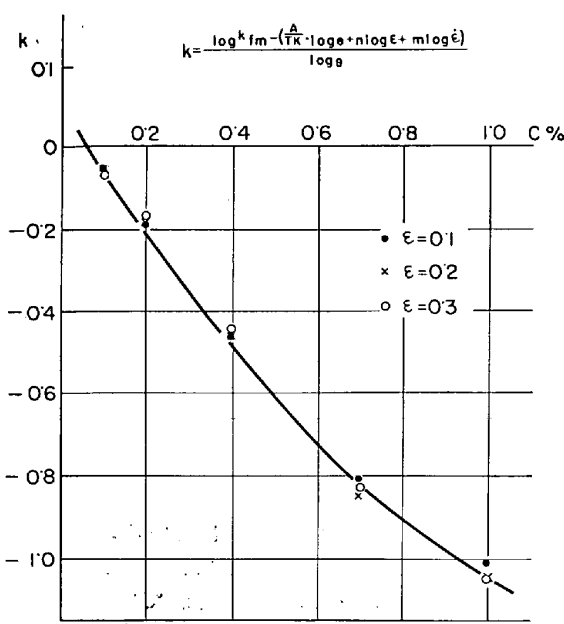
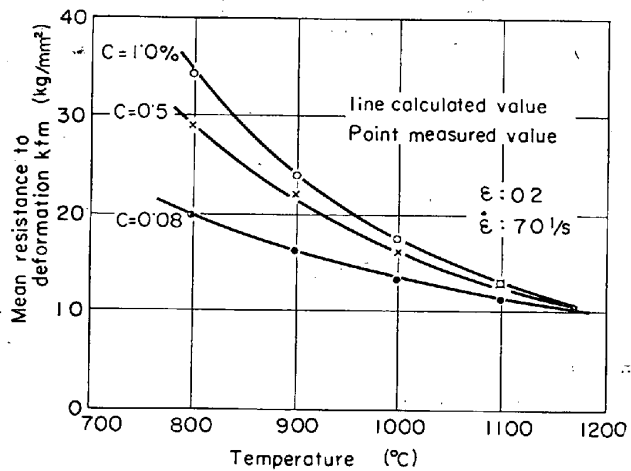
Fig. 4. The relation between  $K$  and  $C\%$ .

Fig. 5. The comparison between the measured and calculated value.

$k$  と  $C\%$  の関係を Fig. 4 に示す。図でわかるように  $k$  は  $C\%$  の函数としてよいと思われ  $C\%$  に関して 2 次式の形にすると (9) 式のとおりとなる。

$$k = 0.126 - 1.75C + 0.594C^2 \quad \dots \dots \dots (9)$$

以上を要約すると  $K_{fm}$  は (10) 式で表わされると考えられる。

$$K_{fm} = \exp[0.126 - 1.75C + 0.594C^2 + (2851 + 2968C - 1170C^2/T_K) \cdot \epsilon^{0.21} \cdot \dot{\epsilon}^{0.13}] \quad \dots \dots \dots (10)$$

$T_K$ : 絶対温度 (°K),  $\epsilon$ : 加工度 (対数歪),  
 $\dot{\epsilon}$ : 平均歪速度 (1/sec),  $C$ : 炭素含有量 (%)

#### 4.5 計算値と実測値の比較

Fig. 1 の曲線を読み取った値と (10) 式により求めた値を比較すると Fig. 5 に示すごとくきわめて良い一致をみた。

さらに  $\epsilon = 70 \text{ l/sec}$   $\epsilon = 0.1 \sim 0.4$  温度 = 750 ~ 1200

°C における実測全データと (11) 式により求めた  $K_{fm}$  の比較では、計算値との相異が ±5% の範囲では 84%, ±10% の範囲では前記低炭素鋼の変態点付近の異常現象のものを除けばほとんどすべてが包含され実用上十分な精度であることが判明した。

#### 5. 結 言

本実験式は普通炭素鋼の平均変形抵抗の計算に適用されるが、その適用範囲は次のとおりである。

炭素量: 1.20% 以下、対数歪: 0.5 以下、平均歪速度: 30 ~ 200 1/sec, 温度: 750 ~ 1200°C,  
ただし、低炭素鋼にみられる 800 ~ 900°C での変形抵抗の異常部分については別途考慮されねばならない。

#### 文 献

- 1) 井上: 鉄と鋼, 41 (1955) 5, 6, 8
- 2) 鉄鋼技術共同研究会編: 圧延理論と変形抵抗, (1960), p. 159 [誠文堂新光社]
- 3) 井上: 鉄と鋼, 48 (1962) 5
- 3) 池島: 日本国金属学会誌, (1953)

### (195) $\gamma$ -線厚さ計による厚板の板厚測定

日本钢管, 鶴見製鉄所

○松田一敏・前田直正・島田勝彦  
安居孝司・松原博義

Thickness Measurement of Steel Plate with  
 $\gamma$ -ray Thickness Gauge.

Kazutoshi MATSUDA, Naomasa MAEDA,  
Katsuhiko SHIMADA, Takashi YASUI  
and Hiroyoshi MATSUBARA.

#### 1. 緒 言

圧延工程において板厚を連続的に測定する方法は古くから研究が進められ、特にストリップ・ミルにおいては X線厚さ計が実用化されてきた。しかし厚板については X線管の管電圧を上げ、またその放射密度も大きくなればならないことなどから、ほとんどその例を見ない。最近 R.I. の工業利用が急激に進んで、厚さ計についても  $\beta$  線,  $\gamma$  線を用いたものが鉄鋼業において、冷間薄板については多く実用化されている。厚板の熱間圧延工程中の測定は、原理的にはなんらこれらのものと変わらないが、工業測定器として実用する際には種々の問題がある。著者らはこの問題点について検討を行ない、試験を重ねた結果、これらを解決し、厚板の  $\gamma$  線厚さ計の実用化に成功したので報告する。

#### 2. $\gamma$ 線厚さ計

##### 2.1 厚さ計の仕様

- (1) 名 称:  $\gamma$  線厚さ計
- (2) 型 式: RTI-S 形 (日立製作所製)
- (3) 測定対象: 厚鋼板 (温度 700°C ~ 1150°C)
- (4) 測定範囲: 4 mm ~ 32 mm
- (5) 使用核種:  $^{137}\text{Cs}$  10Ci
- (6) 測定方法: 設定値とそれに対する偏差値を絶対値で表示
- (7) 保証精度: 板厚 4 mm ~ 10 mm で ±0.1 mm